

步骤 1. AH 选取主节点.

AH 内所有节点从各自本地存储的区块中读取 h , 计算主节点, AH_i 通过:

$$P = (h + v) \bmod n \quad (2)$$

随机决定主节点 AH_p , p 为主节点的编号. AH_i 通过比对 p 与本节点编号, 判断本节点是否为主节点.

步骤 2. 主节点发起共识.

(1) 主节点 AH_p 验证 m 、 A 并用 ECC 对 m 的散列值进行数字签名获得 m_{σ_p} , m_{σ_p} 表示主节点已验证 m 、 A .

(2) 主节点提取本地存储的区块信息生成包含存储区块版本号、前一区块散列值、 h 等信息的 $block$, 并根据对 m 、 A 的验证结果判断是否对 $block$ 使用 ECC 进行数据签名获得 $block_{\sigma_p}$. 如果验证结果为同意接入, 则计算 $block_{\sigma_p}$, 否则不计算 $block_{\sigma_p}$.

(3) 主节点 AH_p 向 AH 中广播包含 $\langle h, v, p, block, block_{\sigma_p} \rangle$ 的消息, 发起共识.

步骤 3. 副本节点参与共识.

(1) 副本节点 $AH_i (i \neq p)$ 收到主节点发送的消息后, 验证 m 、 A , 并用 ECC 对 m 的散列值进行数字签名获得 m_{σ_i} .

(2) 副本节点 $AH_i (i \neq p)$ 根据对 m 、 A 的验证结果判断是否对 $block$ 使用 ECC 进行数据签名获得 $block_{\sigma_i}$. 如果验证结果为同意接入, 则计算 $block_{\sigma_i}$, 否则不计算 $block_{\sigma_i}$.

(3) 副本节点 $AH_i (i \neq p)$ 向 AH 广播包含 $\langle h, v, i, m_{\sigma_i}, block_{\sigma_i} \rangle$ 的信息.

步骤 4. AH 判定共识及操作.

(1) AH 内任一节点依据收到的 m_{σ_i} 、 $block_{\sigma_i}$ 的数量判定共识结果. 若 m_{σ_i} 、 $block_{\sigma_i}$ 的数量满足关系: $n - f \leq m_{\sigma_i}$ 的数量 $\leq n$, 且 $block_{\sigma_i}$ 的数量 $\geq n - f$, 共识结果为同意 EH_j 接入网络, 并同意生成区块, 此时节点在本地生成共识结果区块, 并将新生成的区块保存在本地; 若 m_{σ_i} 、 $block_{\sigma_i}$ 的数量满足关系: $n - f \leq m_{\sigma_i}$ 的数量 $\leq n$, $block_{\sigma_i}$ 的数量 $\leq n - f$, 共识结果为拒绝 EH_j 接入网络, 并拒绝生成区块, 此时节点不做其他操作.

(2) 如果在当前视图下 AH 在经过 $2^{n+i} * t$ 的时间间隔仍未达成共识或者接收到非法接入认证申请后, 可以更换视图, 直到 AH 成共识为止. 更换视图的方法为 AH_i 发起视图更换请求, 视图编号加 1, 当 AH_i 至少收到 $n - f$ 个来自不同的副本节点返回的响应时, 则返回步

骤 1, 重新开始新一轮达成共识的过程.

步骤 5. AH 对共识的处理.

(1) AH 内已确定共识结果的节点依据共识结果处理此次共识.

(2) 主节点 AH_p 在获知共识结果后, 处理共识结果, 将共识结果发送给 EH_j , 并在 AH 中广播共识结果.

(3) 在收到主节点 AH_p 发送的共识结果时仍未知此次共识结果的节点接收主节点 AH_p 的共识结果, 依据共识结果处理此次共识.

4 实验及结果分析

依据以上对去中心化的网络接入身份认证问题的研究, 本文在 SDN 网络^[24-27]中设计并实现了去中心化的接入身份认证方案 BchainNAC. 搭建如图 2 所示的原型环境.

实验环境如下: 一台 OpenDaylight 控制器^[28,29]、一台普通交换机、3 台 OpenFlow 交换机、4 台主机. 在交换协议开发平台上部署 Open VSwitch^[30,31](开放式虚拟交换机, 简称 OVS) 模拟 SDN 交换机. 使用网桥建立 OpenFlow 交换机与控制器的连接, 由普通交换机作为中转实现控制器与多台 OpenFlow 交换机连接. 主机 $h1$ 、 $h2$ 、 $h3$ 、 $h4$ 为已经连入 SDN 的主机. 主机 $h5$ 为接入认证的申请者. 每一台主机的配置为: CPU 的个数为 1, 核数为 1; 内存容量为 1 GB.

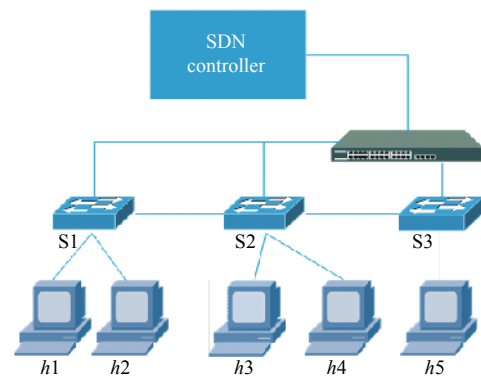
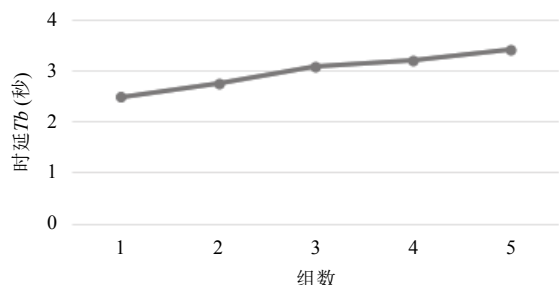


图 2 原型环境

测试场景: 向原型实验环境中逐渐加入 50 台主机, 且每 10 台为一组, 划分为 5 组.

将从申请者发起接入申请到申请者获得认证结果所用的时延记作 Tt . 统计每一组加入 SDN 时使用的平均时延 Tt , 实验结果如图 3 所示.

测试结果及分析:参与共识的主机数与完成接入申请所用时延成正比。从1台到50台接入SDN, T_b 的增幅不大,增幅维持在1s之内。

图3 时延 T_b

以组为单位,分别统计参与共识的主机的CPU利用率、内存的使用率,实验结果如图4、图5所示。

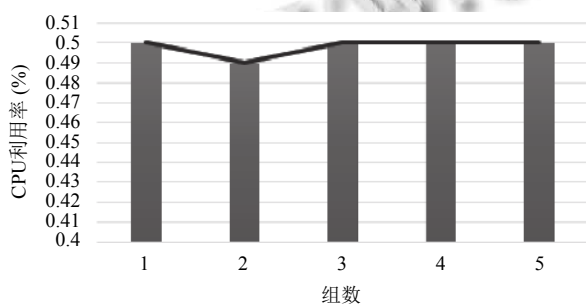


图4 CPU利用率

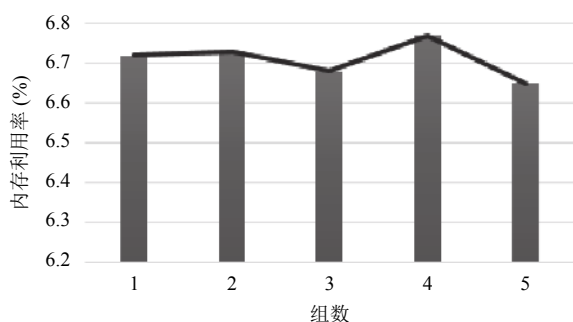


图5 内存使用率

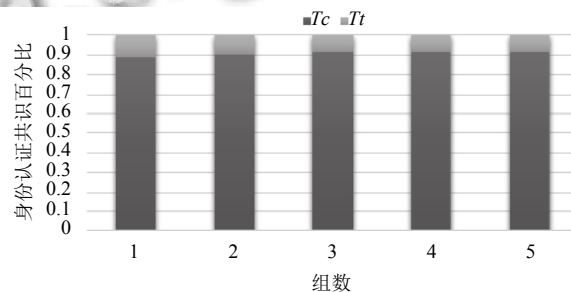
测试结果及分析:参与共识的主机CPU、内存消耗不大,且每台主机的CPU利用率维持在0.5%、内存使用率维持在0.67%。

将身份认证共识分成两个部分:对接入者身份达成共识、通知申请者认证结果和其他节点存储认证结果。前者使用的时延记作 T_c ,后者使用的时延为 T_t 。以组为单位,分别统计每组内平均时延 T_c 与平均时延

T_t 占身份认证共识时延的百分比,实验结果如图6所示:

测量结果及分析:对接入者身份达成共识所用时延为身份认证阶段主要时延。通过分析,得知影响共识的主要因素包括:参与共识的主机的个数;主机之间通信的质量;加、解密算法的复杂度。

通过以上实验可知,在SDN网络中,去中心化的接入身份认证所用时延会随着接入SDN网络中主机数的增多而有所提升,但增幅稳定,在接受范围之内。主机因参与共识消耗的CPU及内存较低。通过分析身份认证共识,可以从影响共识的因素入手,优化共识过程。

图6 T_c 与 T_t 占身份认证共识的百分比

5 总结

本文研究去中心化的网络接入身份认证问题,提出的身份认证方案不泄露除自身公钥以外的任何额外信息,既满足移动主机接入网络的灵活需求,又充分考虑网络中主机的不确定性。下一步将继续优化共识机制的效率,以便在更大规模网络中推广应用。

参考文献

- Matias J, Garay J, Mendiola A, et al. FlowNAC: Flow-based network access control. Third European Workshop on Software Defined Networks. London, UK: IEEE. 2014. 79–84. [doi: 10.1109/EWSDN.2014.39]
- 王秀磊, 张国敏, 胡超, 等. SDFAC: 软件定义的流接入控制机制. 通信学报, 2015, 36(S1): 188–196.
- Nayak A, Reimers A, Feamster N, et al. Resonance: Dynamic access control for enterprise networks. Proceedings of the 1st ACM Workshop on Research on Enterprise Networking. 2009. 11–18. [doi: 10.1145/1592681.1592684]
- Lamport L, Shostak R, Pease M. The Byzantine generals problem. ACM Transactions on Programming Languages and Systems, 1982, 4(3): 382–401. [doi: 10.1145/357172.357176]

- 5 Eduroam Web site: <https://www.eduroam.org>.
- 6 公绪晓, 付中南, 吕洁. 基于 eduroam 和 SDN 的无线漫游认证授权技术研究. 华东师范大学学报(自然科学版), 2015, (S1): 157-162.
- 7 樊蕊. 跨域身份认证系统的研究与实现[硕士学位论文]. 西安: 西安电子科技大学, 2007.
- 8 袁勇, 王飞跃. 区块链技术发展现状与展望. 自动化学报, 2016, 42(4): 481-494.
- 9 Swan M. Blockchain thinking: the brain as a decentralized autonomous corporation. IEEE Technology and Society Magazine, 2015, 34(4): 41-52. [doi: 10.1109/MTS.2015.2494358]
- 10 Wilson D, Ateniese G. From pretty good to great: Enhancing PGP using bitcoin and the blockchain. Network and System Security. In: Qiu M, Xu S, Yung M, Zhang H, eds. Network and System Security. NSS 2015. Lecture Notes in Computer Science, vol 9408. Springer, Cham. 2015. [doi: 10.1007/978-3-319-25645-0_25]
- 11 Kraft D. Difficulty control for blockchain-based consensus systems. Peer-to-Peer Networking and Applications, 2016, 9(2): 397-413. [doi: 10.1007/s12083-015-0347-x]
- 12 李琳, 岳建华. 基于零知识证明的匿名身份认证机制. 计算机科学, 2013, 40(12): 197-199. [doi: 10.3969/j.issn.1002-137X.2013.12.041]
- 13 李殿伟, 王正义, 赵俊阁. 椭圆曲线密码体制安全性分析. 计算机技术与发展, 2012, 22(4): 227-230.
- 14 Base58check web site. [https://en.bitcoin.it/wiki/Base58 Check_encoding](https://en.bitcoin.it/wiki/Base58_Check_encoding).
- 15 韩家炜, 坎伯. 数据挖掘: 概念与技术(第3版). 机械工业出版社, 2012.
- 16 Marshall B, Alon R, Manuel S, et al. Proofs of Useful Work. <http://eprint.iacr.org/2017/203.pdf>. [2017-2-27].
- 17 韩璇, 刘亚敏. 区块链技术中的共识机制研究. 信息安全, 2017, (9): 147-152. [doi: 10.3969/j.issn.1671-1122.2017.09.034]
- 18 Daniel Larimer. 授权股权证明机制白皮书. http://www.8btc.com/dpos_bitfarm. [2014-04].
- 19 卢风顺, 宋君强, 银福康, 等. CPU/GPU 协同并行计算研究综述. 计算机科学, 2011, 38(3): 5-9. [doi: 10.3969/j.issn.1002-137X.2011.03.002]
- 20 Yu D, He S, Huang Y, et al. A fast parallel matrix inversion algorithm based on heterogeneous multicore architectures. 2015 IEEE Global Conference on Signal and Information Processing (GlobalSIP). Orlando, FL, USA. 2015. [doi: 10.1109/GlobalSIP.2015.7418328]
- 21 范捷, 易乐天, 舒继武. 拜占庭系统技术研究综述. 软件学报, 2013, (6): 1346-1360.
- 22 王秀群. 可实用的拜占庭容错系统理论研究[博士学位论文]. 杭州: 浙江大学, 2007.
- 23 Haber S, Stornetta WS. How to time-stamp a digital document. Journal of Cryptology, 1991, 3(2): 99-111.
- 24 张朝昆, 崔勇, 唐嵩祎, 等. 软件定义网络(SDN)研究进展. 软件学报, 2015, 26(1): 62-81.
- 25 左青云, 陈鸣, 赵广松, 等. 基于 OpenFlow 的 SDN 技术研究. 软件学报, 2013, (5): 1078-1097. [doi: 10.3724/SP.J.1001.2013.04390]
- 26 江国龙, 付斌章, 陈明宇, 等. SDN 控制器的调研和量化分析. 计算机科学与探索, 2014, 8(6): 653-664.
- 27 王蒙蒙, 刘建伟, 陈杰, 等. 软件定义网络: 安全模型、机制及研究进展. 软件学报, 2016, 27(4): 969-992. [doi: 10.133280.cnki.jos.005020]
- 28 许名广, 刘亚萍, 邓文平. 网络控制器 OpenDaylight 的研究与分析. 计算机科学, 2015, 42(S1): 249-252.
- 29 唐宏, 刘汉江, 陈前锋, 等. OpenDaylight 应用指南. 电信科学, 2017, 33(S1): 267.
- 30 杨帆, 晏思宇, 黄韬. OVS 的编程扩展技术. 电信科学, 2017, 33(5): 21-28.
- 31 王文涛, 王奇枫, 郭峰, 等. 基于 Open vSwitch 的 SDN 网络平台构建方法. 中南民族大学学报(自然科学版), 2014, 33(4): 99-104. [doi: 10.3969/j.issn.1672-4321.2014.04.023]